



بررسی‌های کائی شناسی و میانبارهای سیال در کانسار طلای زرشوران، شمال تکاب، شمال غرب ایران

توحید یوسفی^{*}، علی عابدینی^۱، فرهنگ علی‌یاری^۲، علی اصغر کلاگری^۳

۱- گروه زمین‌شناسی، دانشکده علوم، دانشگاه ارومیه، ارومیه، ایران

۲- گروه مهندسی معدن، دانشگاه صنعتی ارومیه، ارومیه، ایران

۳- گروه علوم زمین، دانشکده علوم طبیعی، دانشگاه تبریز، تبریز، ایران

(دریافت مقاله: ۹۷/۶/۳، نسخه نهایی: ۹۷/۹/۱۰)

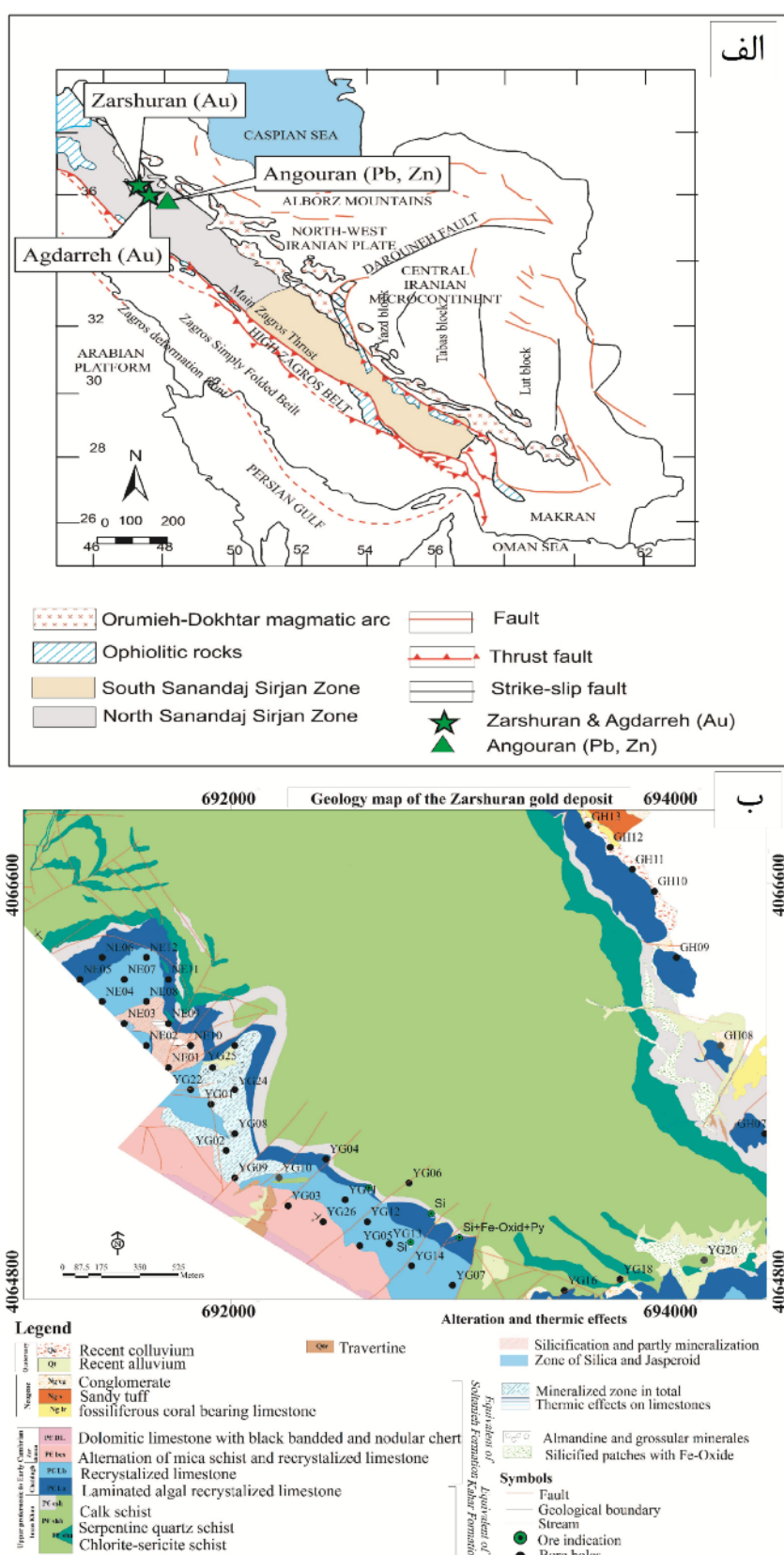
چکیده: کانسار طلای نوع کارلین در فاصله ۳۰ کیلومتری شمال شهرستان تکاب، استان آذربایجان غربی، شمال غرب ایران واقع است. واکنش سیال‌های کانه‌ساز با کربنات‌ها و شیل‌های میزبان منجر به تشکیل و گسترش پهنه‌های دگرسانی دکربناتی، آرژیلی، آلونیتی، سیلیسی، و سولفیدی در منطقه مورد بررسی شده است. بر اساس بررسی‌های میکروسکوپیکی و مزووسکوپیکی صورت گرفته بر نمونه‌های مغزه حفاری، کانه‌سازی طلا در ارتباط با پیریت‌های طلدار و آرسنیکدار بوده است که طی دو مرحله تشکیل شده‌اند. مجموعه کائی‌های مربوط به این مراحل شامل پیریت آرسنیکدار، رالگار، ارپیمنت، سینتیر، استیبنیت، و اسفالریت کلوفرم به همراه مقادیر کمتری سولفوسالت (تره‌اپیدریت و گچلیت) به صورت همرشدی با ژاسپرۆئید و کوارتز هستند. بررسی‌های ریزدماسنجی بر روی میانبارهای سیال دوفازی غنی از مایع در کوارتزهای خودشکل همرشد با سولفیدهای طلدار نشان داد که سیال‌های کانه‌ساز دارای میانگین دمای همگن شدگی (T_h) حدود ۲۶۰ درجه سانتی‌گراد و شوری ۹/۲ درصد وزنی معادل نمک طعام هستند. روند تغییرات شوری و T_h میانبارهای سیال را می‌توان با تلفیقی از آمیختگی و رقیق شدن سیال‌های کانه‌ساز با آب‌های زیرزمینی با خاستگاه جوی توضیح داد. این فرآیندها احتمالاً علت اصلی نایپایداری کمپلکس‌های طلدار و از این‌رو، نهشت طلا در رگه‌ارگچه‌ها هستند. همچنین، براساس فشارهای به دست آمده از یافته‌های ریزدماسنجی، عمق‌های برآورده شده برای تشکیل کانسینگ در گستره ۱۶۰ تا ۳۰۰ متر و فشار ۴۰ تا ۷۵ بار هستند که با بعضی ذخایر طلای نوع کارلین همخوانی دارد. بطورکلی، یافته‌های زمین‌شناسی، کائی‌شناسی، بافتی و ریزدماسنجی شواهد کافی را برای قرارگیری کانه‌زایی طلای زرشوران در زمرة کانسارهای طلای نوع کارلین فراهم می‌نمایند.

واژه‌های کلیدی: کارلین؛ کانه‌زایی طلا؛ میانبارهای سیال؛ نوع کارلین؛ سولفوسالت‌ها؛ زرشوران.

کانسار توسط پژوهشگران مختلف به عنوان یکی از نمودهای کانسارهای نوع کارلین یا شیله کارلین در پهنه ساختاری سنندج- سیرجان معرفی شده است که در آن دگرسانی‌های معمول موجود در این نوع کانسارها شامل انحلال کربنات، سیلیسی‌شدن، آرژیلی و دولومیتی‌شدن هستند [۲-۴]. با در نظر گرفتن پژوهش‌های پیشین به نظر می‌رسد که برای شناخت و فهم ماهیت دقیق سیال‌های کانسینگ‌ساز در کانسار طلای زرشوران، تلفیق نتایج برآمده از بررسی ویژگی‌هایی مانند

مقدمه

پژوهش پیرامون میانبارهای سیال در کائی‌های شفاف در سال - های اخیر مرهون پیشرفت روش‌های تجزیه‌ای بوده است. چنین پیشرفت‌هایی منجر به بررسی دقیقت میانبارهای سیال در کانسارهای مختلف و ارائه ویژگی‌های فیزیکی و شیمیایی سیال‌های کانه‌ساز شده است. کانسار طلای زرشوران، در ناحیه بین بخش شمال غرب پهنه سنندج - سیرجان و کمان ماقمایی ارومیه - دختر [۱] واقع است (شکل ۱ الف). این



شکل ۱ الف) نقشه زمین ساختی ایران و جایگاه کانسالهای زرشوران (طلای، آقدره (طلای) و انگوران (سرب و روی) در پهنه‌های دگرگونی سنندج- سیرجان و کمربند ماقمایی ارومیه- دختر بر آن (برگرفته از مرجع [۱] با تغییرات). ب) نقشه زمین‌شناسی ۱:۱۰۰۰ بخش شرقی منطقه معدنی مورد بررسی و واحدهای سنگی مختلف همراه با جایگاه گمانه‌های اکتشافی بر آن.

همراه با سنگ آهک‌های به شدت آرژیلیتی و سست واحد چالداع و نزدیک به پهنه کانه‌دار گسترش یافته است. دگرسانی سیلیسی گسترده‌ترین نوع دگرسانی در منطقه مورد بررسی محسوب می‌شود.

در کانسار طلای زرشوران رخداد ژاسپروئید و پهنه‌های برشی منطبق بر تمرکز مادهمعدنی است. در راستای پهنه اصلی کانه‌دار که در بردارنده بالاترین عیارهای طلاست، سولفیدی‌شدن هم در راستای لایه‌بندی کربنات سنگ میزان و هم درون بخش‌های برشی شده این سنگ‌ها (اغلب در برخورده‌گاه این سنگ‌ها با شیستهای خاکستری رنگ واحد زرشوران) رخ داده است.

انحلال سنگ آهک میزان توسط محلول‌های اسیدی ضعیف درون واحد آهکی چالداع و بین لایه‌های آهکی واحد شیلی زرشوران منجر به گسترش سیلیس جانشینی یا ژاسپروئید و نیز سیلیس پرکننده فضاهای خالی شده است که اغلب با کانی‌سازی سولفیدی همراه است. در پهنه‌هایی که سنگ آهک میزان فاقد ناخالصی رس، سیلت یا ماسه است، انحلال کامل آهک منجر به تشکیل کانسنگ ژاسپروئید توده‌ای همراه با کانی‌سازی سولفیدهای آرسنیکی مانند پیریت آرسنیکیدار، رالگار و ارپیمنت شده است.

روش بررسی

این پژوهش در دو بخش صحرایی و آزمایشگاهی انجام شده است. نخست، برای تعیین ارتباط بین دگرسانی و کانه‌زایی در مقیاس نمونه دستی و میکروسکوپی با انجام پیمایش‌های صحرایی و بررسی گمانه‌های اکتشافی از بخش‌های دگرسان و کانه‌دار کانسار زرشوران نمونه برداری شد. بر این اساس، بیش از ۱۰۰ نمونه از بخش‌های دگرسان و کانه‌دار برداشت و به منظور انجام بررسی‌های میکروسکوپی، از بین آنها ۳۵ نمونه انتخاب و از آنها مقطع نازک- صیقلی و صیقلی تهیه گردید. همچنین، تعداد ۹ مقطع دوبر صیقل از کوارتزهای خودشکل، درشت بلور و شفاف همراه با کانه‌زایی تهیه و بررسی‌های ریزدانسنجی در آزمایشگاه زمین‌شناسی دانشگاه پیام نور تبریز بر آنها انجام شد اندازه‌گیری‌های ریزکاو الکترونی و بررسی‌های میکروسکوپ الکترونی روبشی به منظور تعیین نوع کانی‌ها و کانه‌ها و نیز تعیین الگوی توزیع عناصر طلا و آرسنیک در انواع نسل‌های مختلف پیریت بر ۵ مقطع نازک- صیقلی در آزمایشگاه نوادا آمریکا انجام گردید. بررسی‌های سنگ- نگاری و کانه نگاری مقاطع میکروسکوپی یاد شده در آزمایشگاه میکروسکوپی دانشگاه ارومیه انجام شد. همچنین، به منظور شناسایی دقیق‌تر کانی‌های موجود در نمونه‌های دگرسان و

بافت و ساخت کانی‌ها و کانه‌ها در پهنه‌های دگرسان و کانه‌دار با ویژگی‌های به دست آمده از بررسی‌های سنگنگاری و ریزدانسنجی میانبارهای سیال بر ژاسپروئیدهای کانه‌دار بسیار ضروری باشد. این امر از این نظر اهمیت دارد که در کانسار طلای زرشوران، همزمانی فرآیند سیلیسی‌شدن با کانه‌زایی تا خیری شامل طلا باعث شده است تا از آن به عنوان رهیافتی برای بررسی میانبارهای سیال استفاده شود. در این پژوهش، با تلفیق نتایج برآمده از بررسی‌های کانی‌شناسی و ریزدانسنجی کانی‌های کوارتز خودشکل همراه با کانه‌زایی اطلاعات جامعی از عمق احتمالی تشکیل کانسار زرشوران و روند تکامل سیال کانسنگ‌ساز طی تکوین آن ارائه می‌شود.

زمین‌شناسی و دگرسانی

قدیمی‌ترین واحدهای سنگی رخمنون یافته در منطقه کانسار زرشوران مجموعه ایمان‌خان به سن پرکامبرین هستند [۵] (شکل ۱ ب) که به ترتیب از قدیم به جدید از سه واحد (۱) ایمان‌خان، (۲) چالداع و (۳) زرشوران تشکیل شده‌اند [۲، ۳ و ۶]. واحد ایمان‌خان شامل اپیدوت شیست، کلریت شیست و سرپانتین شیست است. مرز این واحد و واحد چالداع به واسطه حضور بین لایه‌هایی از مرمر قابل تشخیص است. واحد چالداع از سنگ آهک متبلور خاکستری تا کرم رنگ تشکیل شده است و به طور ناپیوسته بر واحد ایمان‌خان قرار دارد. این واحد میزان اصلی کانه‌زایی بوده و از بلورهای کلسیت و دولومیت خودشکل تا نیمه خودشکل تشکیل شده است. کانه‌زایی شامل پیریت‌های رگچه‌ای، پرکننده فضای خالی و فرامبوئیدی مرحله میانزایی، رالگار، ارپیمنت، سینابر، استیبنیت و سولفوسالت‌هایی مانند تراهدریت و گچلیت است. واحد زرشوران با ترکیب سنگ‌شناسی شیل تیره‌رنگ و ماسه‌سنگ که میزان بخشی از کانه‌زایی طلاست، به طور موضعی به شیستهای تیره و خاکستری رنگ تبدیل می‌شود. این واحد با توالی از توف ریولیتی، کوارتز پورفیری، ریولیت، ماسه‌سنگ، شیل، و دولومیت به ضخامت تقریبی ۱۰۰ متر پوشیده شده است (سازند قره داش).

انواع مختلفی از دگرسانی‌های گرمابی درونزاد شامل کربنات‌زدایی، آرژیلی، آلونیتی، سیلیسی و سولفیدی به ترتیب از لبه به سمت بخش‌های داخلی کانسار زرشوران گسترش یافته‌اند. کربنات زدایی در بخش مرکزی کانسار بصورت انحلال کربنات‌های میزان کانه‌زایی طلا و رخداد سیلیس جانشینی گسترش یافته است. دگرسانی آرژیلی بخش خارجی و پیرامونی پهنه کانه‌دار را احاطه نموده است. دگرسانی آلونیتی که نتیجه عملکرد سیال‌های درونزاد بر سولفیدهای اولیه است، اغلب

محسوب می‌شود [۸، ۹]. در این کانسار، رگه و رگچه‌های کوارتز شیری رنگ سولفیددار اغلب درون شیسته‌های خاکستری و میان لایه‌های آهکی آنها رخ داده‌اند و مovid نسل اول کوارتز و مرحله اولیه کانه‌زایی هستند. تنوع سولفید در آنها پایین است و بطور عمده شامل کانه‌زایی پیریت هستند که در برخی نقاط به گوتیت تبدیل شده‌اند. کوارتزهای نسل چهارم به دلیل رشد کافی در فضای برآمده از انحلال کربنات‌ها، دانه درشت‌تر از کوارتزهای نسل دوم هستند و بافت شانه‌ای از خود نشان می‌دهند (شکل ۲ الف). این در حالی است که ژاسپروئید و کوارتز دروزی دانه‌ریز مرحله تاخیری کانه‌زایی و دما پایین (نسل سوم کوارتز) با کانه‌زایی رالگار، ارپیمنت و پیریت‌های غنی از آرسنیک طلدار و دانه‌ریز نسل دوم و سوم دارای همرشدی هستند (شکل ۲ ب).

بر اساس بررسی‌های میکروسکوپی، دو نسل کوارتز در ژاسپروئیدهای کانه‌دار قابل تشخیص است که عبارتند از: (۱) کوارتزهای نسل دوم که شامل کوارتزهای دانه‌درشت برآمده از فاز اولیه سیال گرمابی دما بالا هستند و (۲) کوارتزهای نسل سوم که دانه‌ریزتر از کوارتزهای نسل دوم هستند و در دمای پایین‌تری از سیال گرمابی و تقریباً همزمان با سولفیدهایی مانند رالگار، ارپیمنت، پیریت و آرسنوبیریت‌ها تشکیل شده‌اند. در زیر میکروسکوپ، نسل دوم کوارتزها نسبت به نسل سوم رنگ تیره‌تری دارند. همرشدی پیریت‌های تاخیری نسل سوم شامل طلا درون کوارتزهای ریزلور نسل سوم در مقاطع بسیار شاخص است (شکل ۲ ب). کوارتزهای نسل سوم اغلب به صورت ریز بلور در لبه کوارتزهای نسل دوم یا در فضای خالی سنگ میزان گسترش یافته‌اند (شکل ۲ ت).

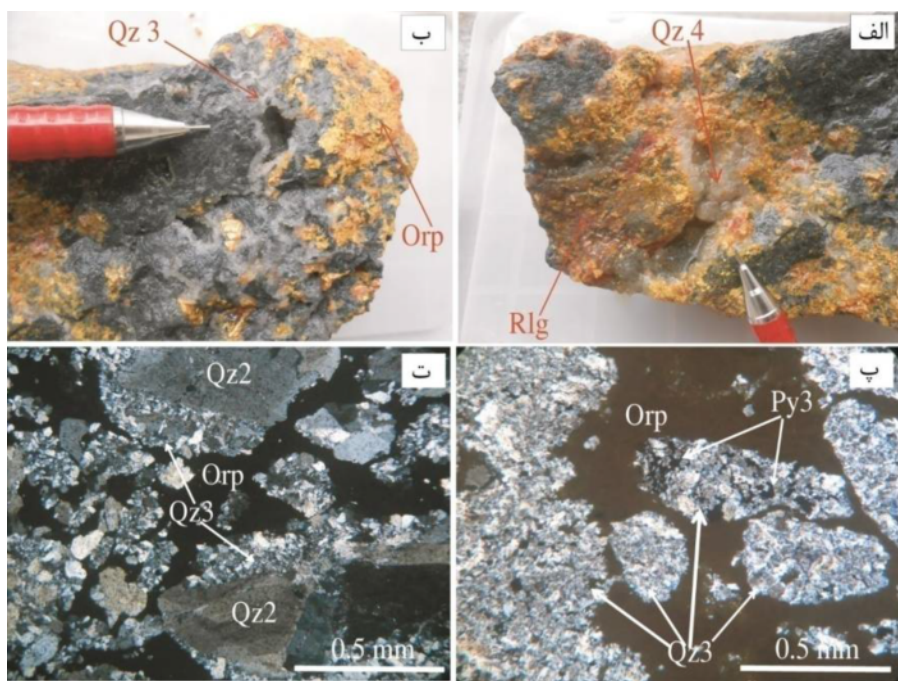
دگرسانی آرژیلی: این دگرسانی به طور عمده در درون واحد آهکی چالdag گسترش یافته و پهنه کانه‌دار را احاطه نموده است. در رخنمون‌های صحرایی و در نمونه‌های دستی از این پهنه (شکل ۳ الف)، کانه‌زایی سولفیدی به وفور قابل تشخیص است. این دگرسانی گاهی همراه با دگرسانی سیلیسی به صورت سنگ آهک‌های آرژیلیتی و سیلیسی شده دربردارنده پیریت‌های بسیار دانه‌ریز، پراکنده و اغلب اکسیده دیده می‌شود (شکل ۳ ب). در منطقه کانسار، سنگ‌های آهکی که در پهنه‌های کانه‌دار واقع هستند، دستخوش دگرسانی آرژیلی ضعیف تا متوسطی شده‌اند، اما با افزایش مقدار سیلت و قطعات تخریبی، این سنگ‌ها به شدت سست و ترد می‌شوند (شکل‌های ۳ پ و ت) و رنگ ظاهری سفید به خود می‌گیرند و از شدت کانه‌زایی سولفیدی در آنها کاسته می‌شود.

کانه‌دار، از پراش سنج فیلیپس 1800 مدل PW در آزمایشگاه شرکت کانساران بینالود استفاده گردید. با توجه به همزمانی فرآیند سیلیسی‌شدن با کانه‌زایی سولفیدی در کانسار طلای زرشوران، از رگه‌های کوارتز و ژاسپروئیدهای شامل کانه‌زایی تاخیری مانند رالگار، ارپیمنت و پیریت نمونه‌برداری شد تا بتوان دمای به دست آمده از بررسی‌های ریز دماستجوی را به کانه‌زایی طلا نسبت داد. به منظور تعیین دمای همگن‌شدگی و دمای ذوب اولیه (نقطه همگدازی) و نهایی یخ، بررسی‌های ریزدماسنجی میانبارهای سیال با دستگاه Linkham مدل THS600 با عدسی ۴۰X در آزمایشگاه زمین‌شناسی اقتصادی دانشگاه پیام نور مرکز تبریز انجام شد. برای بررسی میانبارهای سیال از نمونه‌های ژاسپروئیدی شامل بلورهای کوارتز خود شکل و کانه‌های سولفیدی (پیریت، ارپیمنت، و رالگار) و همچنین از نمونه‌های برداشت شده از رگچه‌های فلوریت‌دار استفاده شد. بدین منظور، تعداد ۷۰ میانبار سیال بی‌شکل تا کروی و با اندازه‌هایی متغیر از ۵ تا ۱۵ میکرون با حجم فاز مایع متغیر (۶۰٪ تا ۸۰٪) انتخاب شد و با انجام عملیات سرمایش و گرمایش، یافته‌های دمایی آنها بدست آمد. به منظور تعیین درجه شوری، نخست میانبارها تا حدود ۱۱۰ - درجه سانتی‌گراد به سرعت ابر سرد شده و سپس با افزایش تدریجی دما، نخستین نقطه ذوب فاز جامد (یخ و هیدروهالیت) یا دمای همگدازی (T_e) و سرانجام نقطه ذوب آخرین تکه یخ ($T_{m_{ee}}$) اندازه‌گیری شد. پس از بررسی‌های سنگنگاری، از بین مقاطع دوبرصیقل تهیه شده، مقاطعی شامل میانبارهای سیال با اندازه مناسب انتخاب شدند تا بتوان فازهای داخلی آنها را به راحتی تشخیص داد. گفتنی است که علاوه اختصاری بکار رفته برای کانه‌های برگرفته از مرجع [۷] هستند.

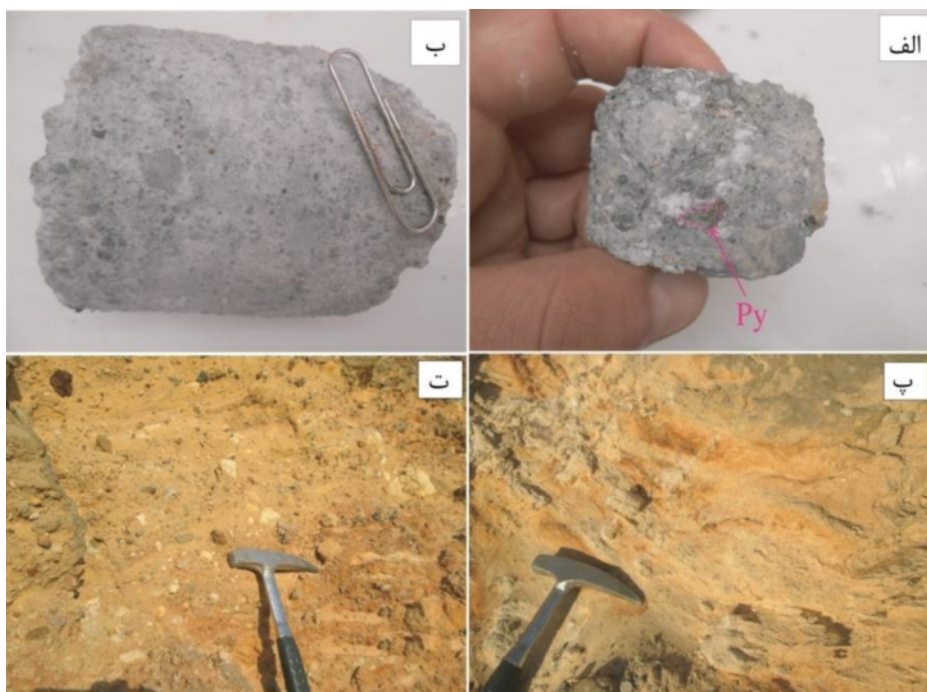
نتایج و بحث

سنگنگاری و کانی‌شناسی

دگرسانی سیلیسی: در منطقه مورد بررسی، ژاسپروئیدهای تودهای غنی از کانه‌زایی سولفیدی (شکل‌های ۲ الف و ب) در واحدهای میزان آهکی به نسبت خالص چالdag تشکیل شده‌اند. در ژاسپروئیدهای پرعیار کانسار زرشوران، انحلال کربنات، دگرسانی سیلیسی و سولفیدی همزمان و یا کمی با فاصله از هم سنگ‌های میزان آهکی را تحت تاثیر قرار داده‌اند. به عبارت دیگر، انحلال کربنات‌ها در مرحله نخست، فضای لازم را برای ورود و تهذیب سیال کانه‌ساز فراهم کرده است. حضور ژاسپروئید و کوارتز دروزی دانه‌ریز مرحله تاخیری کانه‌زایی پرکننده حفره‌ها از ویژگی‌های بارز ذخایر طلای نوع کارلین



شکل ۲ ارتباط سیلیسی‌شدن با کانه‌زایی سولفیدی در نمونه‌های دستی و تصاویر میکروسکوپی کانسار طلای زرشوران: (الف) نمونه دستی از رخداد کوارتز نسل ۴ و پس از کانه‌زایی درون حفره‌های برآمده از انحلال سنگ آهک میزان، (ب) نمونه دستی از کانسنگ ژاسپروئیدی و کوارتز دروزی دانه‌ریز نسل ۳ و همزمان با کانه‌زایی، (پ) تصویر میکروسکوپی با نور عبوری که نشان‌دهنده همرشدی پیریت‌های نسل سوم و طلدار در کوارتز ریزبلور نسل ۳ است، و (ت) تصویر میکروسکوپی با نور عبوری که بیانگر رخداد کوارتز‌های نسل ۲ و ۳ درون کانسنگ ژاسپروئیدی است. عالم اختصاری به کار رفته عبارتند از: ارپیمنت: Orp، کوارتز: Qz، رالکار: Rlg، و پیریت: Py.



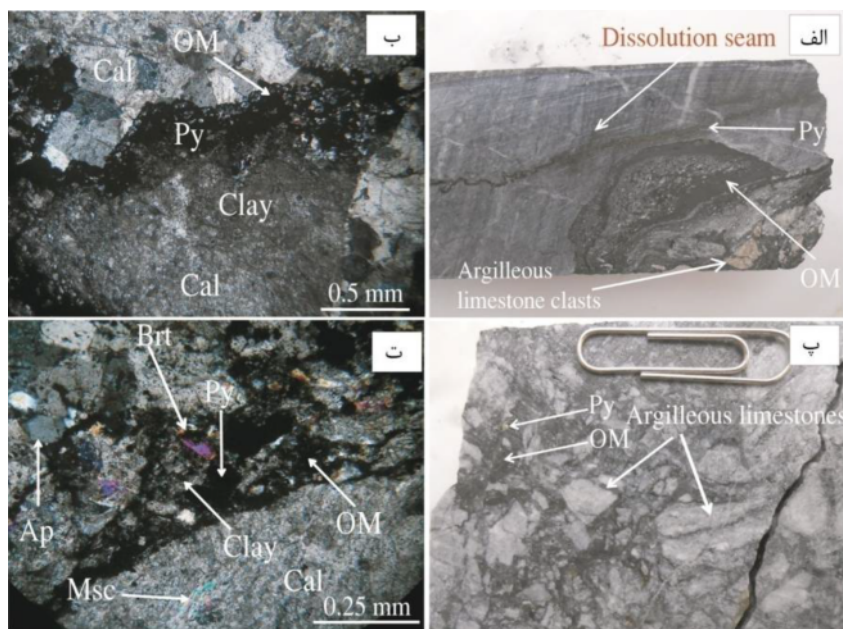
شکل ۳ تصاویر نشان دهنده ارتباط دگرسانی آرژیلی با کانه‌زایی سولفیدی در بخش‌های مختلف کانسار: (الف) کانه‌زایی سولفیدی درون سنگ آهک آرژیلی، (ب) رخداد دگرسانی‌های سیلیسی و آرژیلی در سنگ آهک چالداغ که همراه با کانه‌زایی دانه‌پراکنده است، (پ) دگرسانی متوسط تا شدید آرژیلی در سنگ آهک سیلتی و فاقد کانه‌زایی چالداغ، و (ت) دگرسانی شدید آرژیلی در سنگ آهک تخریبی و ماسه‌ای و فاقد کانه‌زایی واحد چالداغ. (پیریت: Py).

آنورتیت، فلورآپاتیت، مارکاسیت و پیریت هستند.

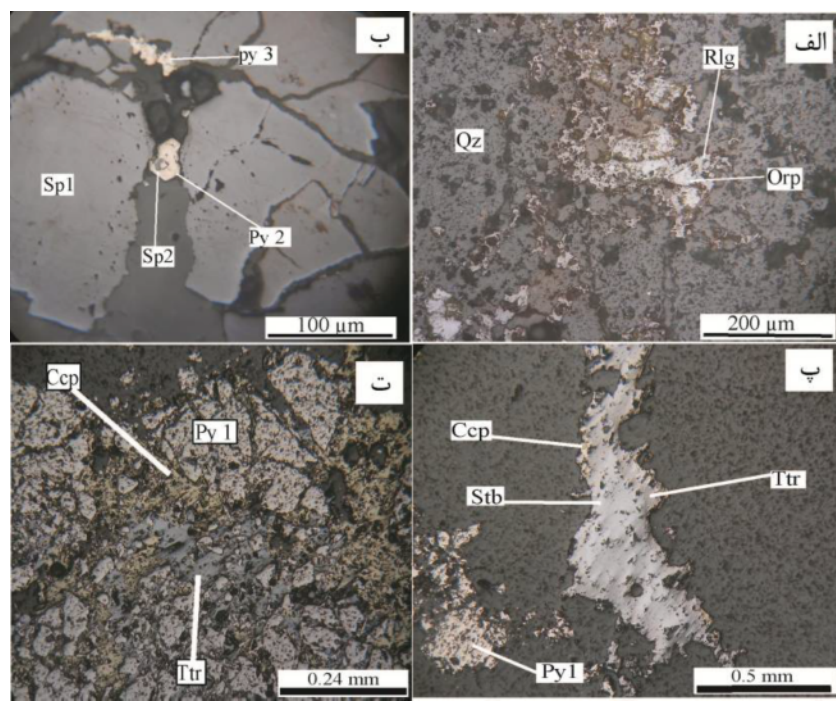
بررسی‌های کانه‌نگاری

بررسی‌های میکروسکوپی نشان می‌دهند که کانی‌های رالگار و ارپیمنت اغلب به طور همرشد با یکدیگر و در ارتباط با سیلیس جانشینی (ژاپروئید) قابل مشاهده هستند (شکل ۵ الف). بافت غالب بلورهای رالگار و ارپیمنت، پرکننده فضاهای خالی است. اسفالریت در نمونه دستی به صورت اگرگات‌های بسیار دانه‌ریز و پولکی شکل دیده می‌شود. بافت کلوفرم بیانگر رخداد این کانه در دمای پایین و در همرشدی با سیلیس پرکننده فضاهای خالی است. دو نسل اسفالریت در مقاطع میکروسکوپی قابل تشخیص است. اسفالریت‌های نسل اول دانه‌درشت هستند و در دماهای بالاتر تشکیل شده‌اند. این در حالی است که اسفالریت‌های نسل دوم دانه‌ریز هستند و در دماهای پایین‌تری و همزمان با پیریت‌های دانه‌ریز و تاخیری تشکیل شده‌اند، به‌طوریکه گاهی به صورت میانبار درون پیریت‌های نسل دوم دیده می‌شوند. پیریت‌های نسل دوم که اسفالریت‌ها را همراهی می‌کنند نیمه خود شکل و دانه درشت‌تر بوده و دمای تشکیل آنها بالاتر از پیریت‌های نسل سوم و بی‌شکل است. هر دو نسل پیریت فضای بین اسفالریت‌ها را پر کرده‌اند (شکل ۵ ب).

دگرسانی سولفیدی: واحدهای شیل و سنگ‌های میزبان کربناتی ناخالص که فقد دگرسانی شدید و کانه‌زایی قابل ملاحظه طلا هستند، تنها آثار بسیار جزئی از سریسیت، مسکویت و کانی‌های رسی را نشان می‌دهند. این در حالی است که در شیل و سنگ آهک غنی از کانه‌زایی طلا که دارای دگرسانی‌های بالقوه و شدید سولفیدی (به صورت پیریت‌های دانه‌ریز و پراکنده و پرکننده شکستگی‌ها) هستند، می‌توان انحلال شدید کربنات‌ها و آرژیلیتی‌شدن را به روشنی مشاهده کرد. در این واحدها بویژه در رگه‌های انحلالی غنی از مواد آلی، مقادیر قابل ملاحظه‌ای از کانی‌های سولفید آهن‌دار غنی از طلا دیده می‌شوند (شکل‌های ۴ الف و ب). کانسنگ‌های برشی گرمابی که نتیجه عملکرد همزمان گسلش و تأثیر سیال کانسنگ‌ساز به صورت آرژیلی‌شدن بر قطعات آهکی خرد شده موجود در پهنه‌های گسلی هستند با رخداد پیریت‌های طلدار، باریت و آپاتیت در بخش زمینه برش‌ها مشخص می‌شوند (شکل‌های ۴ پ و ت). بر اساس الگوهای پراش پرتو ایکس (XRD)، کانی‌های موجود در این دگرسانی شامل کائولینیت، مسکویت، ایلیت، مونتموریلونیت، جاروسیت، دولومیت، آناتاز، آلبیت، ارتوکلاز، ژیپس، دیاسپور، آنکریت، روتیل، سیدریت،



شکل ۴ تصاویر نمونه دستی و میکروسکوپی با نور عبوری نشان‌دهنده دگرسانی‌های گرمابی مختلف در کانسار زرشوران: (الف) تصویر نمونه دستی از سنگ‌آهک غنی از مواد آلی و آرژیلیتی همراه با کانه‌زایی سولفیدی در رگه‌های انحلالی، ریزشکستگی‌ها و برش انحلالی، (ب) تصویر میکروسکوپی نمونه الف که سنگ‌آهک آرژیلی غنی از مواد آلی و سولفیدی را نشان می‌دهد، (پ) تصویر نمونه دستی از برش گرمابی دربردارنده قطعات آهک آرژیلیتی و زمینه غنی از سولفید و مواد آلی و (ت) تصویر میکروسکوپی نمونه ت که ارتباط آرژیلیتی‌شدن کلسیت میزبان با مواد آلی و سولفیدی را نشان می‌دهد. علائم اختصاری بکار رفته عبارتند از: پیریت: Py، کلسیت: Cal، ماده آلی: OM، مسکویت: Msc، و باریت: Ap.

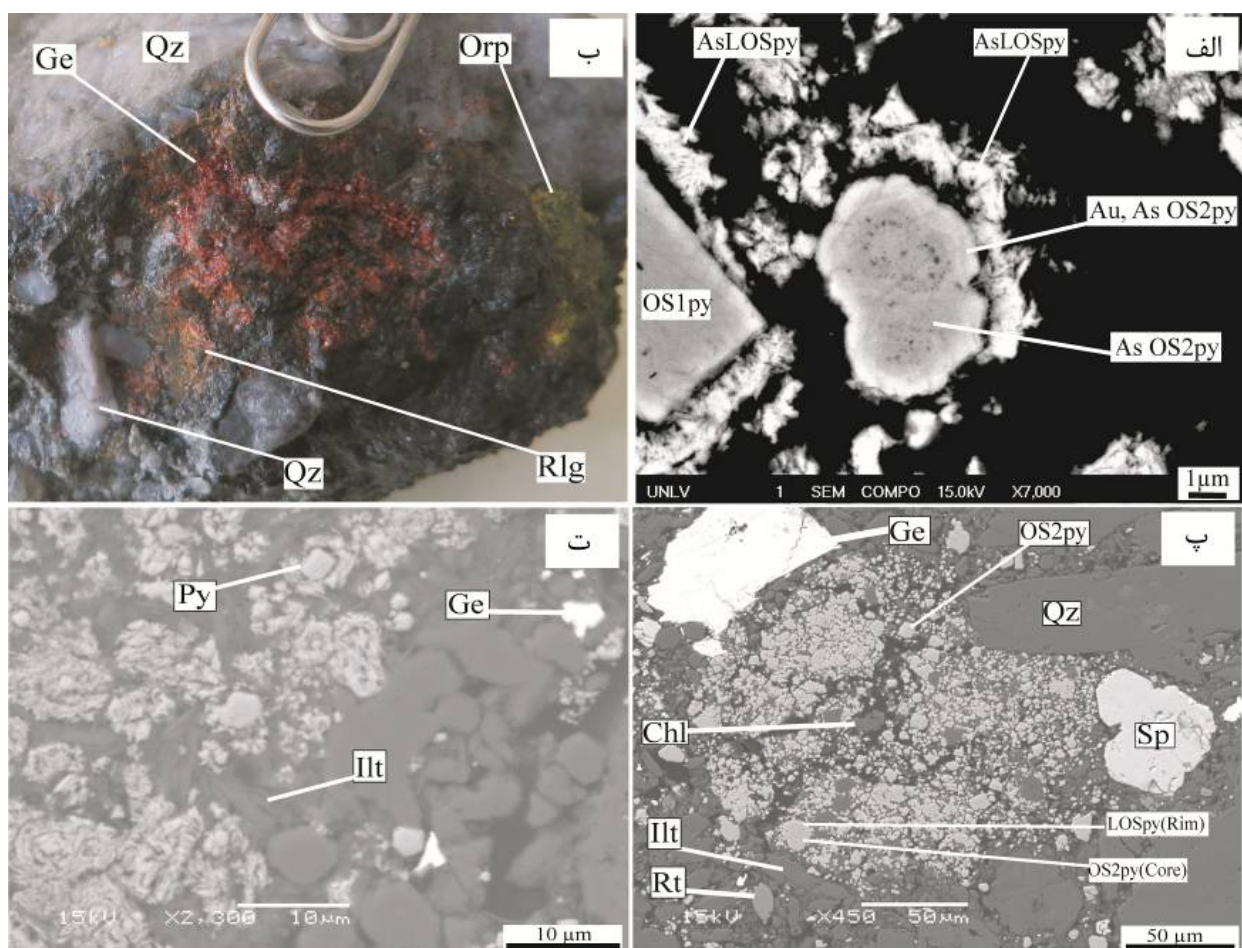


شکل ۵ تصاویر میکروسکوپی با نور بازتابی از کانه‌های مربوط به دگرسانی سیلیسی در کانسار زرشوران: (الف) همراهی بلورهای رالگار و ارپیمنت، (ب) الگوی توزیع پیریت نسل‌های ۲ و ۳ که فضای بین اسفالریت‌ها را پر کرده‌اند، (پ) منطقه‌بندی استیبنیت با تتراهردیت، و (ت) رخداد تتراهردیت به صورت شکافه پرکن درون پیریت نسل ۱ و کالکوپیریت. عالم اختصاری بکار رفته عبارتند از: رالگار: Rlg، ارپیمنت: Orp، پیریت: Py، اسفالریت: Sp، استیبنیت: Stb، تتراهردیت: Ttr، کالکوپیریت، Ccp.

ریزمیانبارهای بسیار تشکیل شده‌اند که سطح این نوع پیریت‌ها را ناصاف نشان می‌دهد. در حالیکه این نوع پیریت‌ها به سمت خارج دارای لبه کاملاً صاف و روشن و مرز کاملاً نمایان و غنی از طلا و آرسنیک نسبت به بخش مرکزی هستند که نشان دهنده وجود طلای غیرقابل مشاهده در این نوع پیریت‌هاست (شکل ۶ الف). کانی گچلیت (به فرمول شیمیایی AsSbS_2) از جمله کانی‌های کمیاب در کانسار زرشوران است که در نمونه دستی رنگ قرمز اناری دارد و به صورت بلورهای باریک و کشیده و دارای سطوح رخ کامل است که آنرا از کانی سینابر متمایز می‌کند (شکل ۶ ب). این کانی را می‌توان اغلب در سنگ دیواره‌های شامل شیل آلی و آهک به شدت سیلیسی، راشپروئیدی و برشی همراه با کانی‌های تاخیری دیگر مانند رالگار و ارپیمنت مشاهده کرد. به دلیل دمای پایین تشکیل سولفوسالتها، انتظار می‌رود که کانی‌های همراه آنها نیز دما پایین باشند. بنابراین، گچلیت در تصاویر میکروسکوپ الکترونی روبشی همراه با کانی‌های تاخیری بسیار دما پایین مانند پیریت‌های طلالدار نیمه‌خودشکل تا بی‌شکل مرحله دوم، مرحله تاخیری، اسفالریت‌های دما پایین و بی‌شکل، کلریت گرمابی و ایلیت دیده می‌شود (شکل‌های ۶ پ و ت).

استیبنیت یک کانی مرحله تاخیری کانه‌زایی است که به صورت افزایش Sb در پیریت‌های مرحله تاخیری و یا از تبلور مستقیم از سیال کانه‌زا ایجاد می‌شود. این افزایش غلظت Sb می‌تواند به دلیل افزایش حلایت آن در اثر سرد شدن سیستم رخ دهد [۱۰]. این کانی در مقاطع اغلب با تتراهردیت به صورت منطقه‌بندی و یا به صورت رگچه‌هایی که شکستگی‌های بین پیریت و کالکوپیریت را پر نموده است، دیده می‌شود (شکل ۵ پ). کالکوپیریت اغلب در رگه‌های کوارتز- سولفید گرمابی قابل مشاهده است. این رگه‌ها شیری رنگ بوده و بیش از فرآیند کانه‌زایی اصلی طلا شکل گرفته‌اند. در این رگه‌ها، کالکوپیریت بی‌شکل است و همراه با پیریت‌های با بافت دانه پراکنده خودشکل تا بی‌شکل به صورت شکافه پرکن دیده می‌شود (شکل ۵ ت). در برخی از این رگه‌ها، شکستگی‌های بین کالکوپیریت و پیریت توسط کانی‌های دما پایین چون استیبنیت و تتراهردیت پر شده‌اند (شکل ۵ ت).

از تجزیه ریزکاو الکترونی و تصاویر میکروسکوپ الکترونی روبشی (SEM) بخش‌های کانه‌دار و دگرسان مشخص شد که پیریت‌های مرحله دوم کانه‌زایی گرمابی و نیمه‌خودشکل نسل دوم (OS2) که هسته را تشکیل می‌دهند از نظر بافتی از



شکل ۶ تصاویر میکروسکوپ الکترونی روبیشی و اندازه‌گیری‌های ریزکاو الکترونی به همراه نمونه دستی از بخش‌های کانه‌دار و دگرسان کانسار زرشوران: (الف) ریز میانبارهای فراوان در سطح پیریت نیمه‌خودشکل مرحله دوم کانه‌زایی و سطح روشن در پیریت‌های حاشیه‌ای و رورشد غنی از طلا و آرسنیک. (ب) تصویر نمونه دستی نشان دهنده همراهی گچلیت با رالگار، ارپیمنت و کوارتز در سنگ دیواره بهشت برشی و خرد شده، پ و (ت) تصاویر میکروسکوپ الکترونی روبیشی از رخداد کانی گچلیت همراه با کانی‌های دما پایین مرحله تاخیری کانه‌زایی شامل پیریت‌های مرحله دوم کانه‌زایی، اسفالریت‌های دما پایین و کانی رسی دگرسان ایلیت، علائم اختصاری بکار رفته عباتند از: گچلیت: Ge، ارپیمنت: Orp، رالگار: Rlg، کوارتز: QZ، اسفالریت: Sp، کلریت: Cl، ایلیت: Ilt، پیریت: Rt، پیریت پیش از کانه‌زایی گرمابی: POS، پیریت مرحله کانه‌زایی گرمابی اوایله: OS1، پیریت مرحله کانه‌زایی گرمابی ثانویه: OS2، پیریت مرحله کانه‌زایی گرمابی تاخیری: LOS.

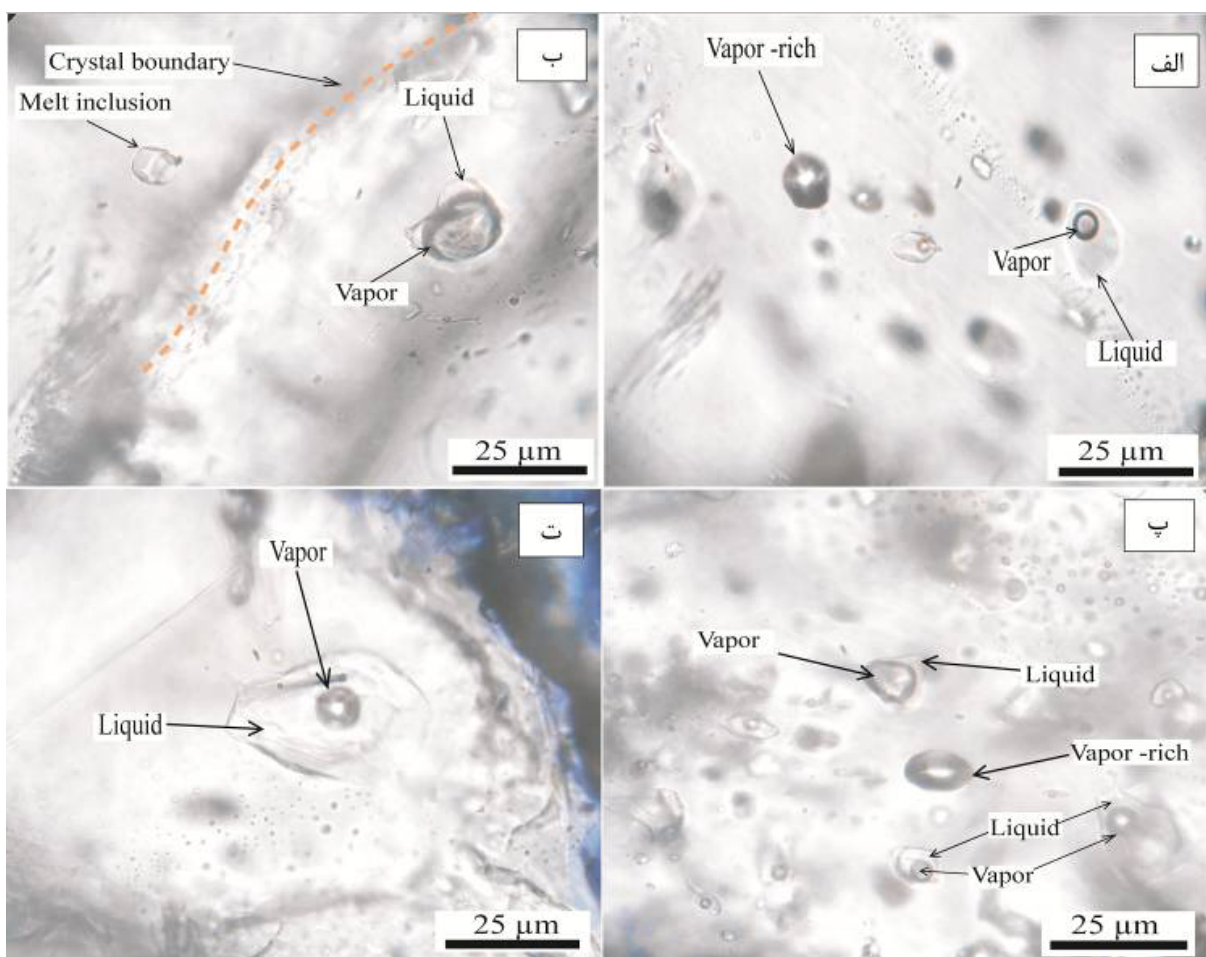
فاز را کمتر از ۴ درصد مولی در سیال‌های کانه‌ساز در نظر گرفت [۱۳].

نقاط همگذاری بدست آمده بیشتر در گستره ۲۰-۲۲°C است که بیانگر آن است که نمک محلول در سیال گرمابی در اصل NaCl بوده است. ولی بعضی از میانبارها نقاط همگذاری بین ۲۴-۳۵°C نشان می‌دهند که می‌تواند بواسطه حضور مقدار بسیار کمی از نمک‌های محلول دیگر مثل FeCl₂, MgCl₂, KCl و H₂O-NaCl مورد بررسی به حالت فاز مایع همگن شده‌اند. محاسبه شوری با استفاده از نرم افزار کامپیوتربی Mc Flincor و در سیستم H₂O-NaCl انجام گردید. بر اساس نتایج بدست آمده، فراوانی

بررسی‌های میکروسکوپی و ریزدماسنجی میانبارهای سیال در این پژوهش، میانبارهای سیال در رگه‌ارگچه‌های سیلیسی بر اساس محتوای فازی و درصد آنها [۱۱] رده‌بندی شدند، هرچند از نظر همبrij اندیشه، ثانویه و ثانویه کاذب [۱۲] نیز حضور دارند. آنها از نظر ریختشناسی دارای شکل‌های منفی بلورین، گرد و نیمه‌گرد، دوکی‌شکل، چندضلعی، کشیده، باریک و نامنظم هستند. در نمونه‌های مورد بررسی، میانبارهای سیال از نظر محتوای فازی بیشتر دوفازی غنی از مایع (L-V) هستند هرچند گاهی به صورت تک فازی گاز نیز دیده شده‌اند (شکل ۷). فاز نامیزدگار CO₂ از آنجا که دیده نشد، می‌توان مقدار این

بر اساس بررسی‌هایی که بر میانبارهای سیال در ذخایر طلای نوع کارلین در دنیا صورت گرفته مشخص شده است که سیال‌های کانسنگ‌ساز در شرایط دمایی متوسط (حدود ۱۸۰ تا ۲۴۰ درجه سانتی‌گراد)، اسیدیته بسیار پایین (pH تقریبی ۴)، شوری پایین (حدود ۲ تا ۳ درصد وزنی معادل نمک طعام)، دی‌اسید‌کربن کمتر از ۴ درصد مول و فقیر از متان (کمتر از ۰,۴ درصد مولی) و سولفید هیدروژن (H_2S) کافی ($^{+}10^{-1}$ مول) جهت انتقال طلا به سر می‌برده‌اند [۱۴-۱۹]. با وجود مشاهده چند میانبار سیال تک فاز گازی به صورت پراکنده که می‌تواند به نوبه خود یکی از معیارهای مشخصه رخداد جوشش باشد، ولی در عمل شواهد محکم کانی‌شناسی، بافتی، ساختی و ریزدماسنگی دیگری که بتوانند رخداد جوشش را تأیید کند، بدست نیامده است.

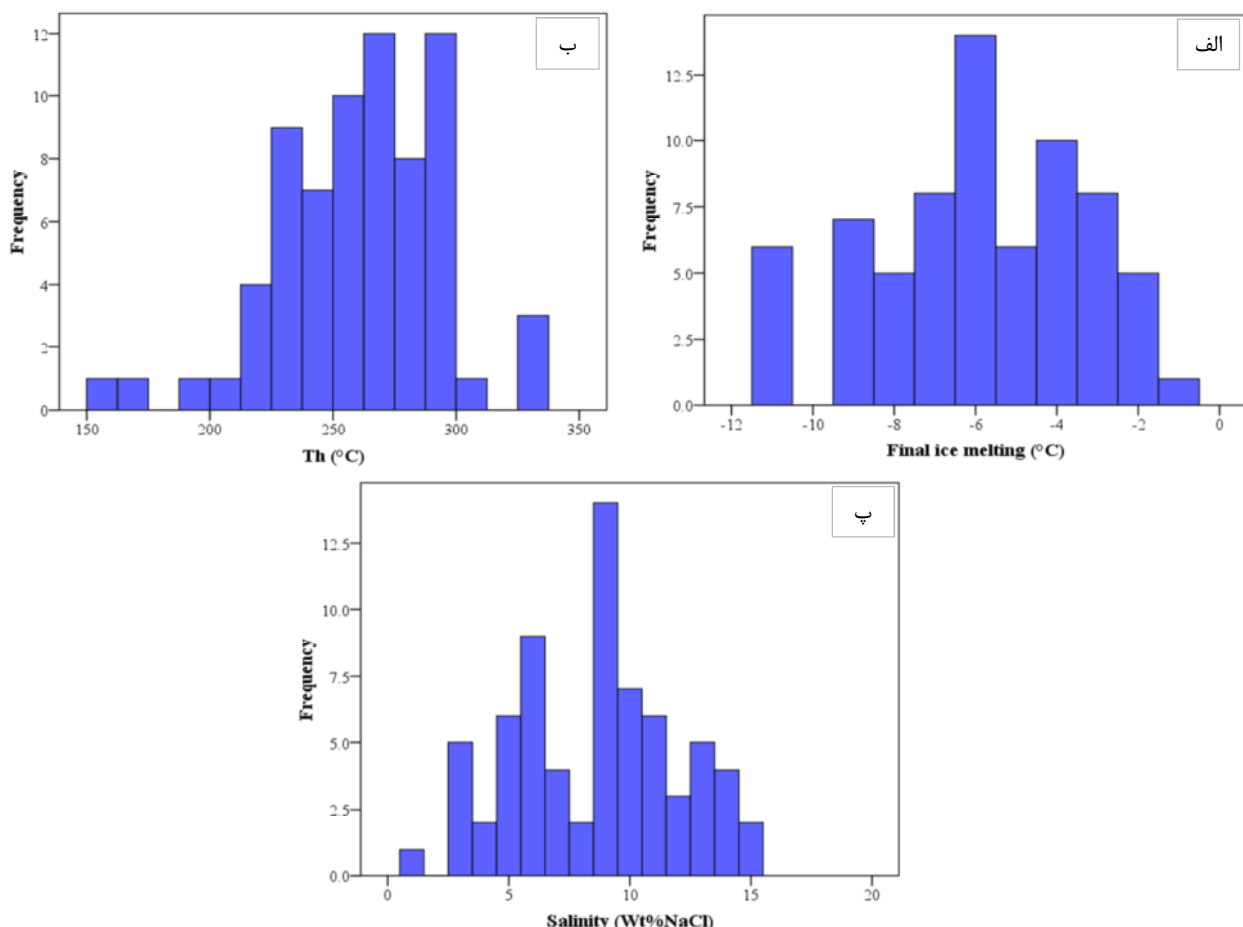
دمای ذوب آخرین بلور یخ ($T_{m_{\text{ice}}}$) در میانبارهای سیال مورد بررسی در گستره ۱-۱۱۶ تا ۱۵/۶ درجه سانتی‌گراد بوده که برابر با درجه شوری ۱/۶۵ تا ۹/۸ درصد وزنی معادل نمک طعام است (جدول ۱)، اما بیشترین فراوانی مربوط به میانبارهای با $T_{m_{\text{ice}}}$ در گستره بین ۵,۵-۶,۵ درجه سانتی‌گراد است که به ترتیب شوری در گستره ۸/۵ تا ۹/۸ درصد وزنی معادل نمک طعام دارند (شکل‌های ۸ الف و پ). با توجه به اینکه در میانبارهای سیال مورد بررسی، فاز غالب مایع است، از این‌رو همه آنها طی عملیات گرمایش به فاز مایع همگن شده‌اند. دماهای همگن شدگی (T_h) در گستره ۱۶۰ تا ۳۲۹ درجه سانتی‌گراد تغییر می‌کنند (جدول ۱) ولی بیشترین فراوانی مربوط به میانبارهای سیال با T_h در گستره ۲۴۰ تا ۳۰۰ درجه سانتی‌گراد است (شکل ۸ ب).



شکل ۷ تصاویر میکروسکوپی انواع مختلف میانبارهای سیال اولیه در کانسار طلای زرشوران: (الف) میانبارهای سیال دوفازی مایع ($L+V$) و تک فاز غنی از بخار (V)، (ب) میانبارهای سیال دو فازی غنی از بخار ($V+L$) با فراوانی بسیار کم، که میانبار مذاب این تصویر نتیجه به تله افتادن مذاب موجود در سیال گرمایی کانه‌زاست، (پ) میانبارهای سیال تک‌فازی مایع (L) و بخار (V) همراه با میانبارهای سیال دوفازی غنی از مایع ($L+V$)، و (ت) میانبار سیال اولیه دو فازی غنی از مایع و بی‌شکل.

جدول ۱ نتایج برآمده از ریزدماسنجه میانبارهای سیال بلورهای کوارتز و فلوریت در کانسار طلای زرشوران.

درجه شوری نهایی (Wt%NaCl equi.)	(Th tot)	دمای همگن شدگی (Tmice)	دمای ذوب آخربن بلور بخ (Tmice)	شماره نمونه
۹,۱۹	۲۵۰,۳	-۶	ZA-25 (Flourite)	
۵,۴۷	۲۲۶	-۳,۴	ZA-25 (Flourite)	
۶,۳۷	۲۲۶,۷	-۴	ZA-25 (Flourite)	
۱۱,۲۲	۲۹۸	-۷,۶	ZA-25 (Flourite)	
۱۶,۹۸	۳۱۰,۶	-۱۱	ZA-25 (Flourite)	
۵,۴۷	۲۵۰	-۳,۴	ZA-25 (Flourite)	
۷,۸۲	۲۵۸,۳	-۵	ZA-25 (Flourite)	
۹,۵۸	۲۶۰	-۶,۳	ZA-25 (Flourite)	
۱۰,۴۸	۲۸۰,۱	-۷	ZA-25 (Flourite)	
۱۱,۹۴	۲۹۰	-۸,۲	ZA-25 (Flourite)	
۱۱,۷۰	۲۹۵,۷	-۸	ZA-25 (Flourite)	
۱۳,۳۰	۲۹۶	-۹,۴	ZA-25 (Flourite)	
۱۵,۵۷	۲۹۹,۵	-۱۱,۶	ZA-25 (Flourite)	
۱۲,۸۶	۲۹۲	-۹	ZA-25 (Flourite)	
۱۱,۹۴	۲۹۵	-۸,۲	ZA-25 (Flourite)	
۱۵,۳۷	۲۹۸,۴	-۱۱,۴	ZA-25 (Flourite)	
۶,۸۲	۲۶۱	-۴,۳	ZA-25 (Flourite)	
۹,۰۵	۲۶۴,۴	-۵,۹	ZA-25 (Flourite)	
۷,۳۹	۲۵۸	-۶,۷	ZA-25 (Flourite)	
۹,۱۹	۲۶۶,۵	-۶	ZA-25 (Flourite)	
۹,۴۵	۲۳۰	-۶,۲	ZA-25 (Flourite)	
۱۳,۰۸	۲۸۰	-۹,۲	ZA-25 (Flourite)	
۱۵,۹۸	۲۹۰,۱	-۱۱	ZA-25 (Flourite)	
۳,۷۶	۲۳۰	-۲,۳	ZA-53 (Quartz)	
۵,۴۷	۲۴۲	-۳,۴	ZA-53 (Quartz)	
۷,۸۲	۲۷۶,۷	-۵	ZA-53 (Quartz)	
۹,۴۵	۲۷۲	-۶,۲	ZA-53 (Quartz)	
۱۳,۷۳	۲۹۰	-۹,۸	ZA-53 (Quartz)	
۱,۶۵	۲۱۲,۲	-۱	ZA-53 (Quartz)	
۴,۸۶	۲۱۸,۵	-۳	ZA-53 (Quartz)	
۳,۹۲	۲۱۶	-۲,۴	ZA-53 (Quartz)	
۶,۶۷	۲۲۸,۱	-۴,۲	ZA-53 (Quartz)	
۱۶,۹۸	۲۹۰	-۱۱	ZA-53 (Quartz)	
۸,۲۴	۲۵۲	-۵,۳	ZA-53 (Quartz)	
۱۰,۷۳	۲۸۰,۲	-۷,۲	ZA-53 (Quartz)	
۹,۴۵	۲۶۴	-۶,۲	ZA-53 (Quartz)	
۶,۳۷	۲۴۶	-۴	ZA-53 (Quartz)	
۹,۵۸	۲۵۷,۴	-۶,۳	ZA-53 (Quartz)	
۱۳,۶۲	۲۹۲	-۹,۷	ZA-53 (Quartz)	
۱,۰۸	۲۸۷	-۷	ZA-53 (Quartz)	
۹,۵۸	۲۷۱,۱	-۶,۳	ZA-53 (Quartz)	
۹,۷۱	۲۶۳	-۶,۴	ZA-53 (Quartz)	
۷,۸۲	۲۶۹	-۵	ZA-53 (Quartz)	
۶,۸۲	۲۴۲,۴	-۴,۳	ZA-53 (Quartz)	
۳,۲۸	۲۱۷	-۲	ZA-53 (Quartz)	
۵,۲۲	۲۲۶	-۳,۳	ZA-53 (Quartz)	
۸,۰۱	۲۴۹,۴	-۵,۵	ZA-53 (Quartz)	
۹,۴۵	۲۶۳	-۶,۲	ZA-53 (Quartz)	
۹,۷۱	۲۶۷	-۶,۴	ZA-53 (Quartz)	
۵,۴۷	۲۲۴,۳	-۳,۴	ZA-53 (Quartz)	
۶,۶۷	۲۵۷	-۴,۲	ZA-53 (Quartz)	
۳,۲۸	۲۲۶	-۳	ZA-53 (Quartz)	
۹,۱۹	۲۸۰,۵	-۶	ZA-25 (Flourite)	
۱۳,۸۶	۲۲۵	-۹	ZA-25 (Flourite)	
۱۰,۷۳	۲۳۹,۲	-۷,۲	ZA-25 (Flourite)	
۱۱,۱۰	۲۷۰,۴	-۷,۵	ZA-25 (Flourite)	
۶,۳۷	۲۲۸	-۴	ZA-25 (Flourite)	
۳,۲۸	۲۵۷,۴	-۳	ZA-25 (Flourite)	
۶,۳۷	۲۴۶	-۴	ZA-25 (Flourite)	
۴,۸۶	۲۳۸	-۳	ZA-25 (Flourite)	
۶,۵۲	۱۶۷,۴	-۴,۱	ZA-53 (Quartz)	
۵,۴۷	۱۹۶	-۳,۴	ZA-53 (Quartz)	
۱۳,۵۲	۱۶۰	-۹,۶	ZA-53 (Quartz)	
۱۱,۴۰	۲۲۴,۷	-۸,۶	ZA-53 (Quartz)	
۱۰,۸۶	۲۴۳,۴	-۷,۳	ZA-53 (Quartz)	
۱۴,۹۸	۲۲۶	-۱۱	ZA-53 (Quartz)	
۱۱,۷۰	۲۷۴	-۸	ZA-53 (Quartz)	
۱۰,۲۳	۲۶۴,۱	-۶,۸	ZA-53 (Quartz)	
۱۰,۹۸	۲۸۴	-۷,۴	ZA-53 (Quartz)	
۹,۵۸	۲۷۹,۵	-۶,۳	ZA-53 (Quartz)	

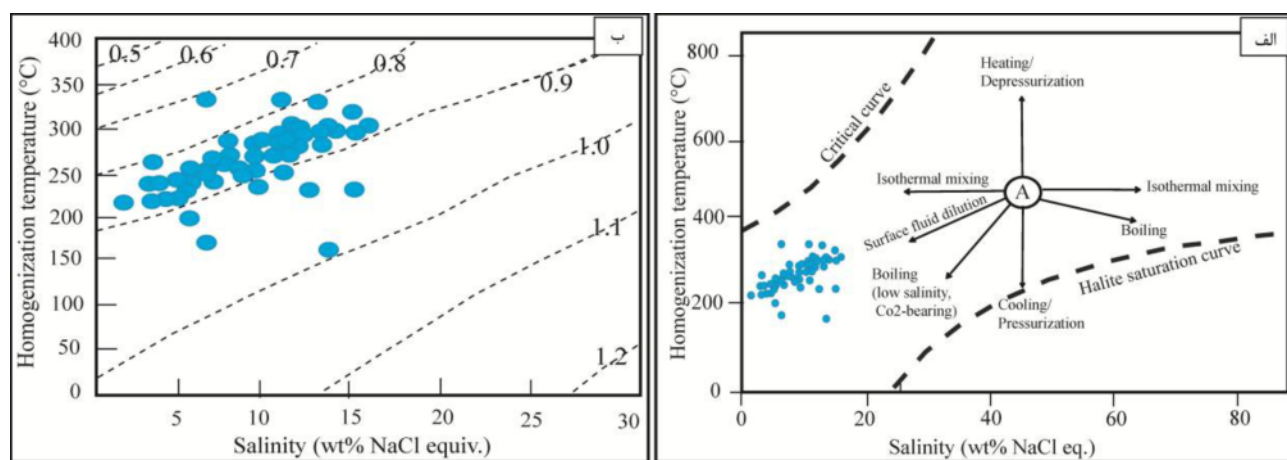


شکل ۸ نمودارهای فراوانی مربوط به مقایسه (الف) دماهای آخرین نقطه ذوب یخ، (ب) همگن شدگی و (پ) درجه شوری اندازه‌گیری شده برای میانبارهای سیال کانسار زرشوران که آخرین نقطه ذوب یخ بیشترین فراوانی را در گستره ۵.۵-۶.۵ تا ۰-۱۰ درجه سانتی‌گراد دارد، دمای همگن شدگی اغلب بین ۲۴۰ تا ۳۰۰ درجه سانتی‌گراد در نوسان بوده و (پ) درجه شوری میانبارهای سیال بطور عمده سیال میانبارهای سیال نمک طعام است

معمولًاً فشار به دام افتادن میانبارهای سیال پایین است، بنابراین دمای همگن شدگی بدست آمده تا حدی نزدیک به دمای به دام افتادن آنها است [۲۲]. با توجه به عدم اثبات رخداد جوشش، فشارهای برآورده شده [۲۳، ۲۴] برای میانبارهای مورد بررسی در زرشوران از نوع لیتواستاتیک است و در گستره ۲۵ (برای T_h حدود ۱۶۰ درجه سانتی‌گراد) تا ۱۱۰ بار (برای T_h حدود ۳۳۰ درجه سانتی‌گراد) قرار می‌گیرند که می‌توانند در اعمقی به ترتیب ۱۰۰ تا ۴۴۰ متری حاکم باشند. با این حال، اغلب میانبارهای سیال فشارهای لیتواستاتیکی در گستره ۴۰ تا ۷۵ بار (برای T_h های ۲۴۰ و ۳۰۰ درجه سانتی-گراد) را نمایش می‌دهند که نشان دهنده اعمقی به ترتیب ۱۶۰ تا ۳۰۰ متر هستند.

تجزیه و تحلیل یافته‌ها با استفاده از نمودار دو متغیره شوری نسبت به دمای همگن شدگی در زرشوران (شکل ۹ الف) نشان می‌دهد که بطور کلی کاهش T_h در بیشتر میانبارهای سیال با کاهش شوری همراه بوده است، بطوریکه داده‌ها یک آرایه خطی با شیب منفی را به نمایش می‌گذارند. از آنجا که میانبارهای سیال کانسار طلای زرشوران شوری متوسط دارند (۹.۸ تا ۸.۵ درصد وزنی معادل نمک طعام)، می‌توان چنین تصور کرد که افزون بر لیگاندھای بی‌سولفیدی، لیگاند-های کلریدی نیز ممکن است در انتقال طلا، آرسنیک و آنتیموان در سیال فلزدار سهمی داشته‌اند [۲۰، ۱۰].

بر اساس شکل ۹ ب [۲۱]، چگالی میانبارهای سیال مورد بررسی در گستره ۰.۸ تا ۰.۹ گرم بر سانتی‌متر مکعب است. با توجه به اینکه در اغلب کانسارهای طلا- نقره فراگرمایی،



شکل ۹ (الف) نمودار دمای همگن شدگی-شوری برای نشان دادن تغییرات میانبارهای سیال در کانسار طلای زرشوران [۱۰] و (ب) تغییرات مقدار چگالی میانبارهای سیال در نمودار دمای همگن شدگی-شوری، که بطور عمده در گستره ۰/۸ تا ۰/۹ واقع شده‌اند [۱۶].

برداشت

مهمترین نتایج به دست آمده از بررسی‌های کانی‌شناسی و بررسی میانبارهای سیال کانسار طلای زرشوران عبارتند از:

۱- همرشدی بلورهای کوارتز نسل سوم (زاسپروئید) و چهارم به صورت پرکننده فضاهای خالی با کانی‌های رسی دگرسان چون ایلیت و سولفیدی-آرسنیکی مثل رالگار، ارپیمنت، و پیریت (نسل سوم) که براساس نتایج ریزکاو الکترونی و میکروسکوپ الکترونی روبشی غنی از طلا و آرسنیک هستند، نشان‌دهنده همزمانی رخداد دگرسانی سیلیسی و کانه‌زایی طلا در کانسار زرشوران است.

۲- نتایج ریزدماسنجی نشان می‌دهند که میانگین شوری و دمای همگن شدگی میانبارهای سیال به ترتیب حدود ۹/۱۵ درصد وزنی معادل نمک طعام و ۲۶۰ درجه سانتی‌گراد هستند. فشارهای محاسبه شده بر اساس یافته‌های ریزدماسنجی بیانگر آن است که کانه‌سازی بیشتر در اعمق ۱۶۰ تا ۳۰۰ متری از سطح زمین رخ داده است که با اعمق گزارش شده برای بعضی از کانسارهای طلای نوع کارلین همخوانی دارد. روند تکاملی میانبارهای سیال نشانگر برآمیختگی سیال‌های گرمابی کانسنس‌ساز با سیال‌های جوی است.

۳- ویژگی‌های زمین‌شناسی، ساخت و بافت و کانی‌شناسی و اندازه‌گیری‌های ریزکاو الکترونی و میکروسکوپ الکترونی روبشی نشان دهنده همراهی دگرسانی‌های معمول موجود در کانسارهای نوع کارلین شامل وجود کانی‌های دگرسان کوارتز و ایلیت به همراه پیریت‌های غنی از طلا و آرسنیک، رالگار،

روند رقیق شدگی و کاهش دما طی تشکیل کانسارهای فراگرمایی خیلی رایج است که به احتمال زیاد بواسطه آمیختگی سیال‌های فراگرمایی درون‌زاد (مربوط به رخدادهای آتشفسانی یا توده‌های نفوذی) با سیال‌های نزدیک سطحی سرد (آب‌های زیر زمینی) روی می‌دهد [۲۵]. با توجه به روند خطی داده‌های ریزدماسنجی بر نمودار دومتغیره شوری-دمای همگن شدگی (شکل ۹ الف) می‌توان چنین تصور کرد که آمیختگی سیال‌های گرمابی کانه‌دار با سیال‌های جوی با دما و شوری پائین عامل اصلی ناپایدار شدن کمپلکس‌ها و در نتیجه نهشت طلا در زرشوران بوده است.

تشکیل کانسارهای طلای نوع کارلین که با بافت‌های پرکننده فضاهای خالی و با حضور کانی‌هایی مثل کوارتز دروزی، ارپیمنت، رالگار، استیبنیت و طلای بسیار کمی یا بدون آن شناخته می‌شوند، معمولاً با سرد شدن سیستم گرمابی- بواسطه آمیختگی با آب‌های جوی نزدیک سطحی صورت می‌گیرد [۲۶]. از طرفی، شواهدی در تأیید وجود فرآیند جوشش یا نامیختگی سیال در بررسی‌های بافتی، کانی‌شناسی و میانبارهای سیال کانسارهای طلای نوع کارلین گزارش نشده است [۲۸]. با توجه به وجود کانه‌ها و بافت‌های دما پایین دیده شده در بررسی‌های میکروسکوپیکی و مزوسکوپیکی و نتایج ریزدماسنجی، احتمال رویداد آمیختگی سیال گرمابی طلادر با محلول‌های نزدیک سطحی با خاستگاه جوی در رخداد کانه‌زایی طلا در زرشوران بسیار بالاست.

- [8] Cline J., Hofstra A., Muntean J., Tosdal R., Hickey K., "Carlin-type gold deposits in Nevada: Critical geologic characteristics and viable models", in Hedenquist, J.W., Thompson, J. F. H., Goldfarb, R. J., and Richards, J. P., eds., 100th Anniversary Volume: Society of Economic Geologists, Littleton, CO (2005) 451-484.
- [9] Lubben J. D., Cline J. S., Barker S. L. L., "Ore Fluid Properties and Sources from Quartz-Associated Gold at the Betze-Post Carlin-Type Gold Deposit, Nevada, United States", Economic Geology 107 (2012) 1351-1385.
- [10] Emsbo P., Hofstra A. H., Lauha E. A., Griffin G. L., Hutchinson R. W., John D. A., Theodore T. G. "Origin of high-grade gold ore, source of ore fluid components and genesis of the Meikle and neighboring Carlin-type deposits, northern Carlin Trend, Nevada", Economic Geology 98 (2003) 1069-1105.
- [11] Shepherd T. J., Rankin A. H., Alderton, D. H., "A practical guide to fluid inclusion studies", Glasgow, Blackie and Son (1985) 239.
- [12] Roedder E., "Discussion of a reassessment of phase-equilibria involving 2 liquids in the system $K_2O-Al_2O_3-FeO-SiO_2$ ", Contributions to Mineralogy and Petrology 82 (1984) 284-290.
- [13] Bodnar R. J., "Introduction to aqueous-electrolyte fluid inclusions. Fluid Inclusions: Analysis and Interpretation", Mineralogical Association of Canada, Short Course 32 (2003) 81-100.
- [14] Hofstra A. H., Cline J. S., "Characteristics and models for Carlin-type gold deposits", Reviews in Economic Geology 13 (2000) 163-220.
- [15] Lubben J. D., "Silicification Across the Betze-Post Carlin-Type Au Deposit: Clues to Ore Fluid Properties and Sources, Northern Carlin Trend, Nevada [MS Unpublished MS Thesis]", University of Nevada, Las Vegas, (2004) 155.
- [16] Large S.J.E., Bakker E.Y.N., Weis P., Walle M., Ressel M., Heinrich C.A., "Trace elements in fluid inclusions of sediment-hosted gold deposits indicate a magmatic-hydrothermal origin of the Carlin ore trend". Geology. 44(12) (2016) 1015-1018.
- [17] Jun C., Rui-Dong Y., Li J.D., Lu-L.Z., Jun B.G., Chun K.L., Huai R.W., Ming G.Y., "Mineralogy, geochemistry and fluid inclusions of the Qinglong Sb-(Au) deposit, Youjiang basin

ارپیمنت، استیبنیت، تتراهدریت، گچلیت و اسفالریت‌های کلوفورم است که وجود چنین کانی‌ها و کانه‌های دما پایین همچوئی بسیار خوبی با یافته‌های ریزدماسنجی دارد و بیانگر ماهیت نوع کارلین کانسار زرشوان است.

قدرتانی

نگارندگان مقاله از حمایت‌های مالی معاونت پژوهشی و تحصیلات تکمیلی دانشگاه ارومیه و مدیریت محترم مجتمع معدنی زرشوان برخوردار بوده‌اند، که بدینوسیله نهایت سپاس و قدردانی خود را از آنان اعلام می‌دارند. نگارندگان همچنین از نظرات و پیشنهادات سازنده داوران محترم مجله سپاسگزاری می‌نمایند.

مراجع

- [1] Ghasemi A., Talbot C. J., "A new tectonic scenario for the Sanandaj–Sirjan Zone (Iran)", Journal of Asian Earth Sciences 26 (2006) 683-693.
- [2] Daliran F., "The carbonate rock-hosted epithermal gold deposit of Agdarreh, Takab geothermal field, NW Iran-hydrothermal alteration and mineralisation", Mineralium Deposita 43 (2008) 383-404.
- [3] Mehrabi B., Yardley B. W. D., Cann J.R., "Sediment-hosted disseminated gold mineralisation at Zarshuran, NW Iran", Mineralium Deposita 34 (1999) 673-696.
- [4] Asadi H. H., Voncken J. H. L., Kuhnel R. A., Hale M., "Petrography, Mineralogy and Geochemistry of the Zarshouran Carlin-like gold deposit, northwest Iran", Mineralium Deposita 35 (2000) 656-671.
- [5] Babakhani A, Ghalamghash J., "The 1:100000 geology map of the Takhte-Soleyman", Geological Survey of Iran (1990).
- [6] Aliyari F., Afzal P., Abdollahi Sharif J., "Determination of geochemical anomalies and gold mineralized stages based on litho-geochemical data for Zarshuran Carlin-like gold deposit (NW Iran) utilizing multi-fractal modeling and stepwise factor analysis", Journal of Mining and Environment 8 (2017) 1-19.
- [7] Whitney D.L., Evans B.W., "Abbreviations for Names of Rock-Forming Minerals", American Mineralogist, 95 (2010) 185-187.

- [23] Haas J. L., "Physical properties of the co-existing phases and thermometrical properties of H₂O component in boiling NaCl solutions: Preliminary steam tables for NaCl solutions", United States Geological Survey Bulletin, (1976) 1421-A.
- [24] Urusova M. A., "Volume properties of aqueous solutions of sodium chloride at elevated temperatures and pressures", Russian Journal o Inorganic Chemistry 20 (1975) 1717-1721.
- [25] Rossetti P., Colombo F., "Adularia-sericite gold deposits of Marmato_Caldas, Colombia.: field and petrographic data", In: McCaffrey K.J.W., Lonergan L., Wilkinson J.J.-Eds., Fractures, "Fluid Flow and Mineralization. Geological Society of London", Special Publications 155 (1999) 167-182.
- [26] Hofstra A. H., Leventhal J. S., Northrop H. R., Landis G. P., Rye R. O., Birak D. J., Dahl A. R., "Genesis of sediment-hosted disseminated-gold deposits by fluid mixing and sulfidization; chemical-reaction-path modeling of ore depositional processes documented in the Jerritt Canyon District, Nevada", Geology19(1991)36-40.
- (Guizhou, SW China)", Ore Geology Reviews 92 (2018) 1-18.
- [18] Su W.C., Zhu L.Y., Ge X., Shen N.P., Zhang X.C., Hu R.Z., "Infrared microthermometry of fluid inclusions in stibnite from the Dachang antimony deposit, Guizhou". Acta Petrol Sin. 31 (4) (2015) 918–924 (in Chinese with English abstract).
- [19] Nigel J.F. Blamey, Andrew R. Campbell., Matt T. Heizler, "The Hydrothermal Fluid Evolution of Vein Sets at the Pipeline Gold Mine", Nevada:, Minerals 100 (2017) 1-30.
- [20] Hofstra, A. H., "Geology and genesis of the Carlin-type Au deposits in the Jerritt Canyon district, Nevada", Unpublished PhD (Doctoral dissertation, dissertation, Boulder, University of Colorado, (1994).
- [21] Bodnar R. J., "A method of calculating fluid inclusion volumes based on vapor bubble diameters and PVTX properties of inclusion fluids", Economic Geology 78 (1983) 535-542.
- [22] Wilkinson J. J., "Fluid inclusions in hydrothermal ore deposits", Lithos 55 (2001) 229-272.